

## بررسی شاخص های ژئومورفیک و مورفو-تکتونیکی برای ارزیابی تکتونیک فعال در محدوده آبدوغی، شمال شرق یزد، ایران مرکزی

دریافت مقاله: ۹۳/۱/۲۵ پذیرش نهایی: ۹۵/۳/۵

صفحات: ۷-۲۸

آرش سهرابی: دانشجوی دکتری ژئوفیزیک، دانشکده زمین شناسی، دانشگاه بین المللی منابع معدنی<sup>۱</sup>

Email: arashshrb@ yahoo.com

سهیلا بیگی: کارشناسی ارشد تکتونیک، گروه زمین شناسی، دانشگاه اصفهان

Email:beygi.sohelya@yahoo.com

### چکیده

یکی از روش های جدید جهت مشاهده ای حرکات زمین ساختی و زمین لرزه ها استفاده از دانش مورفو-تکتونیک می باشد. مطالعه و اندازه گیری مناظر و اشکال ایجاد شده توسط تکتونیک فعال از موارد مهم علم مورفولوژی به حساب می آیند. حرکات تکتونیکی فعال یک منطقه در مورفولوژی رودخانه ها، زهکشی آبراهه ها، مخروط افکنه ها و جبهه های کوهستان ثبت می گردد. در این پژوهش برای ارزیابی تکتونیک فعال، گستره جغرافیایی  $30^{\circ}$ - $57^{\circ}$  طول شرقی و  $32^{\circ}$ - $33^{\circ}$  عرض شمالی در پهنه ایران مرکزی انتخاب شده است. در این پژوهش با مطالعه نقشه زمین شناسی و پردازش تصاویر ماهواره ای و داده های رقومی ارتفاعی، شاخص های ژئومورفیکی و مورفو-تکتونیکی اندازه گیری و فعالیت تکتونیکی منطقه مورد ارزیابی قرار گرفته است. نتایج بدست آمده از شاخص سینوسی جبهه کوهستان ( $S_{mf}$ )، شاخص نسبت پهنه ای کف دره به عمق دره ( $V_f$ ) و شاخص نسبت عرض دره به ارتفاع دره ( $V$ ) به ترتیب دارای مقادیر میانگین  $1/15$ ،  $0/94$  و  $9/88$  می باشند. جابجایی آبراهه ها، مخروط افکنه ها و اشکال مثلثی ایجاد شده نشان دهنده تکتونیک فعال در راستای گسل ها می باشند. همچنین تطابق اندازه گیری های شاخص های مورفو-تکتونیکی و داده های لرزه ای نشان دهنده تکتونیک فعال در این منطقه است.

کلید واژگان: تکتونیک فعال، شاخص مورفو-تکتونیکی، منطقه آبدوغی، ایران مرکزی، یزد.

<sup>۱</sup>. نویسنده مسئول: روسیه- سنت پترزبورگ - دانشگاه بین المللی منابع معدنی - دانشکده زمین شناسی.

## مقدمه

مطالعات مورفوتکتونیک، بر روی تفسیر ژئودینامیکی و ژئومورفولوژی چشم اندازها تمرکز می‌کند و یک الگوی کلیدی برای تکامل چشم اندازها می‌باشد که برای اولین بار توسط هاک (۱۹۶۰)<sup>۱</sup> معرفی شده است. بر این اساس مورفوتکتونیک ممکن است به دو روش ۱- مطالعه چشم انداز‌های ایجاد شده توسط فرآیندهای تکتونیکی، ۲- بررسی مسائل تکتونیکی توسط اصول ژئومورفولوژی، تعریف شود. در تعریف اول توجه به چشم انداز‌ها است و در تعریف دوم به مسائل تکتونیکی توجه می‌شود و به ما اجازه می‌دهد از ژئومورفولوژی به عنوان ابزاری برای ارزیابی تاریخ، نرخ و بزرگی فرآیندهای تکتونیکی استفاده کنیم (Keller and Pinter, 1996: 52).

از مشهورترین فعالیت‌ها جهت برقراری ارتباط میان ساختارهای ژئومورفیک و حرکات تکتونیکی، می‌توان به چرخه فرسایشی ویلیام موریس دیویس اشاره داشت (دیویس، ۱۸۹۹: ۴۸۱). در چرخه دیویس، مورفولوژی هر مجموعه‌ی ساختاری- ژئومورفیکی در مراحل جوانی، بلوغ و پیری نسبت به ساختارهای ژئومورفیک دیگر متفاوت است. بول و مک فادن<sup>۲</sup> (۱۹۷۷) از جمله اولین کسانی بودند که از شاخص Smf و Vf برای ارزیابی نسبی تکتونیک فعل در شمال و جنوب گسل Garlock در کالیفرنیا استفاده کردند. فلورین اسکای<sup>۳</sup> (۱۹۹۶) در بررسی نوع ارتباط بین گسل و لندفرم‌های حاصل، از نقشه‌های خمیدگی<sup>۴</sup> برای تشخیص و توصیف خطوط گسل استفاده کرد. کروایز و همکاران<sup>۵</sup> (۱۹۹۹) با بررسی امتداد ژئومورفولوژیکی خط الرأس و شکل هندسی پروفیل‌های طولی عوارض گوناگون که از مدل رقومی ارتفاعی استخراج نمودند، به تفسیر لندفرم‌ها و ساختار تکتونیکی پرداختند. همچنین می‌توان دانشمندانی چون سیلووا<sup>۶</sup> (۲۰۰۳)، استوک و همکاران<sup>۷</sup> (۲۰۰۷) و گاروته<sup>۸</sup> (۲۰۰۸) را نام برد که با استفاده از شاخص‌های مورفوتکتونیک پژوهش‌های بسیاری انجام داده اند. در ایران نیز افرادی به بررسی وضعیت تکتونیک بعضی از مناطق با استفاده از همین شاخص‌های مورفوتکتونیک پرداخته‌اند: زمانی و حسامی (۲۰۰۴) با بهره گیری از روش آماری چند متغیره و تجزیه و تحلیل خوش‌های،

1. Hack

2. Davis

3. Bull and McFadden

4. Florinsky

5. Curvature Maps

6. Chorowicz et al

7. Silva

8. Stock et al

9. Garrute

## بررسی شاخص های ژئومورفیک و مورفو تکتونیکی برای ارزیابی تکتونیک فعال ... ۹

ایران را به مناطق تکتونیکی مشابه از نظر زمین ساختی طبقه بندی نموده‌اند. واکر<sup>۱</sup> (۲۰۰۴) با بهر گیری از تصاویر SRTM، Aster و SPOT و تکنیک سنجش از دور، ایران مرکزی (کرمان، زرند، بم، ...) را از دیدگاه مورفو تکتونیکی و لرزه‌ای مورد مطالعه قرار داده است. واکر و فتاحی (۲۰۱۱) نقش عوامل تکتونیکی بر تکامل مخروط افکنه ششتراز در نزدیکی کاشمر، مقصودی (۱۳۸۷) در دشت قزوین مخروط افکنه‌های تقطیع شده در اثر فعالیت تکتونیکی را مطالعه نموده‌اند. ثروتی (۱۳۷۱) در بررسی و مطالعه مسائل مورفو تکتونیکی منطقه کاشمر، به نقش گسل‌های امتدادلغز در جابجایی از مسیرهای زهکشی اشاره می‌کند. اصغری مقدم (۱۳۸۶) به فعالیت گسل‌ها و نقش آن‌ها بر تکامل مخروط افکنه‌های رودخانه سردر طبس اشاره می‌کند و اظهار می‌دارد که مخروط افکنه‌ی مذکور در دوره‌ی کواترنر تشکیل شده است. گورابی (۱۳۸۶) به بررسی تکتونیک فعال حوضه آبخیز در که پرداخت و نتایج وی گویایی فعال بودن این حوضه می‌باشد. همچنین بیاتی خطیبی (۱۳۸۸) با همین نگاه حوضه آبریز قرنقوچای را بررسی کرد در نهایت ارقام حاصل از بکارگیری شاخص‌های مختلف، تأییدی بر فعالیت بخش‌های مختلف حوضه فوق بوده است. اندیس‌های مورفومتری محاسبه شده از سوی شفیعی (۱۳۸۸) در بررسی تکتونیک فعال در رشته کوه بینالود مهر تأییدی بر کاربردی بودن شاخص‌های مورفو تکتونیکی می‌باشد. همچنین می‌توان به تحقیقات دیگری در همین راستا از سوی مددی (۱۳۸۳)، فرهودی (۱۹۷۸)، یمانی (۱۳۸۸) و رجبی (۱۳۸۸) اشاره نمود.

از مشهورترین شاخص‌ها که اطلاعات مهمی را برای تفسیر تاریخچه مورفو تکتونیک منطقه در اختیار ما قرار می‌دهند می‌توان به شاخصه پیچ و خم جبهه‌ی کوهستان در حد فاصل مناطق هموار و نواحی کوهستانی، نسبت کف دره به عمق دره، نسبت عرض دره به ارتفاع دره، مخروط افکنه‌ها، سطوح مثلثی شکل واقع بر روی اسکارپ‌های گسلی، جابجایی آبراهه‌ها و نهشته‌های کواترنر توسط گسل‌ها و چین خوردگی نهشته‌های جوان اشاره کرد (McFadden, 1977: 117; Guarneri and Pirrotta, 2008:264).

### داده‌ها و روش پژوهش

#### موقعیت جغرافیایی

منطقه مورد مطالعه در محدوده  $30^{\circ}$ - $33^{\circ}$  عرض شمالی در شمال شرق استان یزد در پهنه ایران مرکزی واقع شده است (شکل ۱ الف). گستره‌ی زمانی واحدهای سنگی محدوده‌ی بررسی شده از پرکامبرین تا کواترنر می‌باشد. بخش شرقی

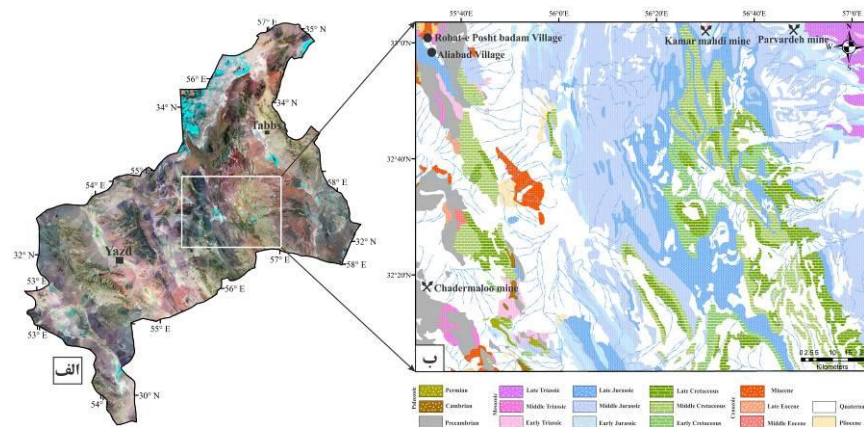
1. Walker

منطقه غالباً شامل سنگ های دوران مژوزوئیک است. بخش غربی محدوده مورد مطالعه شامل بیرون زدگی هایی از واحدهای پر کامبرین، کامبرین و واحدهای رسوی ائوسن و میوسن می باشد (شکل ۱(ب) (آقاباتی و همکاران، ۱۳۹۰). در منطقه مورد مطالعه مجموعه های زیادی از گسل ها و شکستگی ها وجود دارد که با الگوهای مختلفی نسبت به هم قرار گرفته اند و واحدهای سنگی را در مقیاس های مختلف جایجا کرده است. از شناخته شده ترین گسل های موجود در این منطقه گسل کلمرد، نایینی، سربالا و گسل چشمه را می توان نام برد (شکل ۲).

گسل کلمرد با طول ۲۵۰ کیلومتر در راستای NNE-SSW توسعه یافته است و سازوکار معکوس با مؤلفه راستالغز دارد (آقاباتی، ۱۳۸۳: ۵۳۶). عملکرد این گسل در شمال غرب منطقه مورد مطالعه باعث بریدگی واحدهای سنگی ژوراسیک شده است.

گسل نایینی گرچه به دلیل قرار گرفتن در زیر رسوبات کواترنر چندان مشخص نیست ولی یکی از خطواره های مهم ایران مرکزی محسوب می شود. این گسل در بخش غربی گسل کلمرد در شمال غرب منطقه مورد مطالعه واقع شده است (آقاباتی، ۱۳۸۳: ۵۴۰). حقی پور (۱۹۷۴) ادامه گسل نایینی را در ارتفاعات پشت بادام گسل سربالا نامیده است. گسل سربالا در منطقه باعث بریدگی واحدهای سنگی ژوراسیک و قرارگیری این واحدها در کنار رسوبات آبرفتی کواترنری شده است.

گسل چشمه دارای طول تقریبی ۱۵۰ کیلومتر و دو روند متفاوت می باشد. که از سمت شرق به غرب ابتدا دارای روند شرقی - غربی بوده و سپس به شمال شرق - جنوب غرب تغییر می کند. این گسل در بخش شرقی منطقه مورد مطالعه با روند شمال شرق - جنوب غربی واحدهای سنگی ژوراسیک و کرتاسه را بریده است.



شکل (۱). (الف) موقعیت منطقه مورد مطالعه بر روی تصویر ماهواره ای TM استان یزد و (ب) نقشه زمین شناسی منطقه مورد مطالعه بر گرفته از نقشه ۱/۲۵۰۰۰ آبدوغی (آقاباتی و سعیدی، ۱۳۹۰).



شکل (۲). گسل ها در منطقه مورد مطالعه بر روی تصویر ماهواره ای (TM)  
ماخذ: <http://glcfapp.glcf.umd.edu:8080/esdi/index.jsp>

به منظور مطالعه و بررسی نقش تکتونیک در شکل گیری و تحول چشم اندازها، نقشه‌ی توپوگرافی و نقشه‌ی زمین شناسی آبدوغی (۲۵۰۰۰:۱)، داده‌های مدل رقومی ارتفاعی زمین (SRTM) ۳۰ متر تهیه شده توسط ناسا که می‌توان از پایگاه USGS بصورت رایگان دانلود نمود و تصاویر ماهواره‌ای سنجنده TM، توسط نرم‌افزارهای ARCGIS و Global Mapper پردازش شد. فرایندهای مورفو-تکتونیکی و فعل و انفعالات مرتبط با تکامل چشم‌اندازها را می‌توان از لحاظ تئوری در محیط‌های مختلف تکتونیکی با فرمول‌های مربوط به هر شاخص محاسبه نمود (Whipple and Tucker, 1999:17661; Willgoose et al., 1991:1671). به عنوان مثال، داده‌های رقومی ارتفاعی این امکان را برای ما فراهم می‌کنند که بتوان مشخصات آماری مناظر را خیلی سریع بررسی کرده و با توجه به فرمول‌های مربوطه میزان فعالیت نسبی منطقه را بدست آورد.

#### معرفی شاخص‌های ریخت زمین ساختی جهت بررسی فعالیت تکتونیکی منطقه: شاخص پیج و خم جبهه‌ی کوهستان

پیج و خم پیشانی کوهستان شاخصی است که تعادل بین نیروهای فرسایش دهنده و تکتونیکی را منعکس می‌کند. عموماً سینوسیته پایین در یک جبهه کوهستانی مستقیم و صاف با یک گسل مرزی فعال دیده می‌شود. اگر در اثر کاهش فعالیت‌های تکتونیکی منطقه، فرایندهای فرسایشی تأثیر بیشتری روی جبهه کوهستان بگذارند، مقدار سینوسیته افزایش خواهد یافت. شاخص سینوسیته جبهه کوهستان از رابطه ۱ بدست می‌آید (شکل ۳ الف) (Printer and kaller, 2002:134)

$$Smf = \frac{Lmf}{Ls} \quad (۰)$$

$L_{mf}$ : طول جبهه کوهستان در پای کوه (جای که شیب تغییر می‌کند و یا شیب می‌شکند).

$L_s$ : خط مستقیم میان دو نقطه در محل تغییر شیب (کونیک کوهستان).

$S_{mf}$ : شاخصه‌ی پیج و خم پیشانی کوهستان.

نرخ بالا آمدگی، مقادیر متفاوت پیج و خم جبهه‌ی کوهستان را موجب می‌شوند. شاخصه‌ی پیج و خم جبهه‌های کوهستان با فعالیت بالا عموماً کمتر از ۱/۵، جبهه‌های کوهستانی با فعالیت متوسط بین ۱/۵ تا ۳ و جبهه‌های غیرفعال مقادیر بیش از ۳ را نشان می‌دهند (Bull, 2007:316).

### نسبت پهنهای کف دره به عمق دره ( $V_f$ )

نسبت پهنهای کف دره به ارتفاع آن از دیگر شاخص ژئومورفولوژیکی می باشد که برای بررسی میزان فعالیت نیروهای زمین ساختی در منطقه استفاده شده است. نسبت پهنهای دره به ارتفاع آن را معمولاً در فاصله معینی از جبهه کوهستان (معمولاً یک کیلومتر از جبهه کوهستان به طرف بالادست رودخانه) اندازه می گیرند. این نسبت بر اساس رابطه ۲ محاسبه می شود (شکل ۳ ب) (Bull, 2007:316)

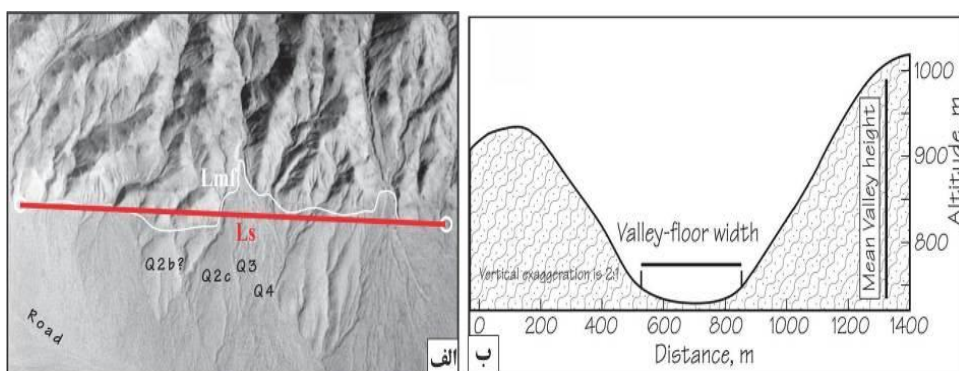
$$V_f = \frac{V_{fw}}{\frac{(E_{ld} - E_{sc}) + (E_{rd} - E_{sc})}{2}} \quad (2)$$

$V_{fw}$ : پهنهای کف دره

$E_{rd}$ ,  $E_{ld}$ : ارتفاع دامنه‌ی سمت چپ و راست دره از کف دره

$E_{sc}$ : ارتفاع کف دره از سطح آب های آزاد

نسبت پهنهای کف دره به عمق دره یکی از نسبت‌های بسیار مفید در شناسایی مناطق فعال می باشد که به فعالیت‌های تکتونیکی اواخر کواترنر بسیار حساس است. در مناطق کوهستانی بسیار فعال  $V_f$  بین ۰/۰۵ تا ۰/۰۵ متغیر می باشد (Bull, 2007:316).



شکل (۳). (الف) نحوه اندازه گیری شاخص بیج و خم جبهه‌ی کوهستان و (ب) نحوه اندازه گیری شاخص دره‌ها (Bull, 2007:123)

### نسبت عرض دره به ارتفاع دره ( $V$ )

نسبت عرض دره به ارتفاع دره ( $V$ ) از رابطه ۳ بدست می آید (Bull, 2007:316)

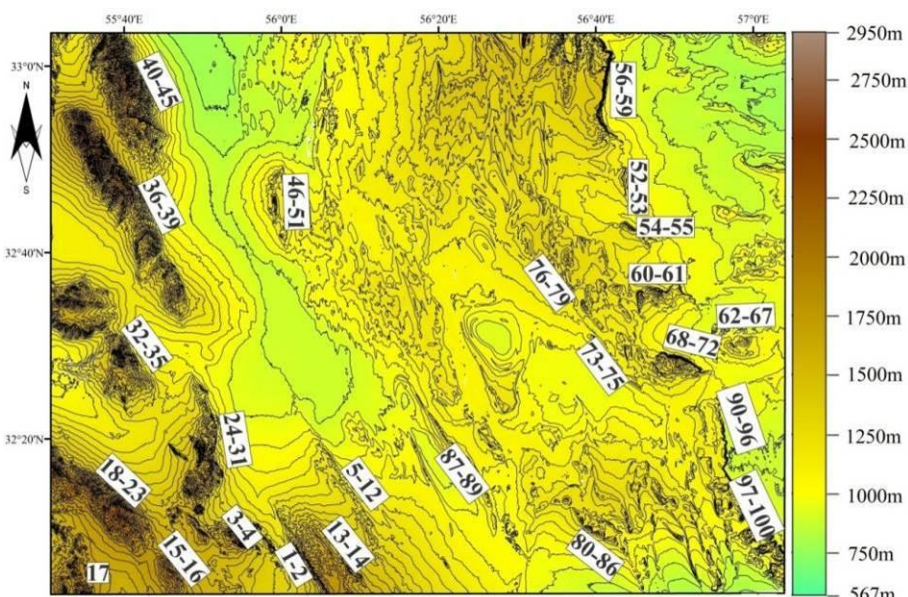
$$V = \frac{2Vw}{(E_{ld} - E_{sc}) + (E_{rd} - E_{sc})} \quad (3)$$

نسبت عرض دره به ارتفاع دره برای تشخیص بالآمدگی‌ها در بازه‌ی زمانی بلند مدت، برای لیتوژئی‌های متنوع و اقلیم‌های متفاوت مفید می‌باشد. این شاخصه جهت تشخیص مناطق تکتونیکی فعال از غیرفعال استفاده می‌شود. مقادیر کمتر از ۶ این شاخصه نشان دهنده‌ی مناطق در حال بالآمدن و در مناطق غیرفعال از نظر بالآمدگی، مقدار متوسط این شاخصه معمولاً بالاتر از ۷ می‌باشد (Bull, 2007:316).

## نتایج

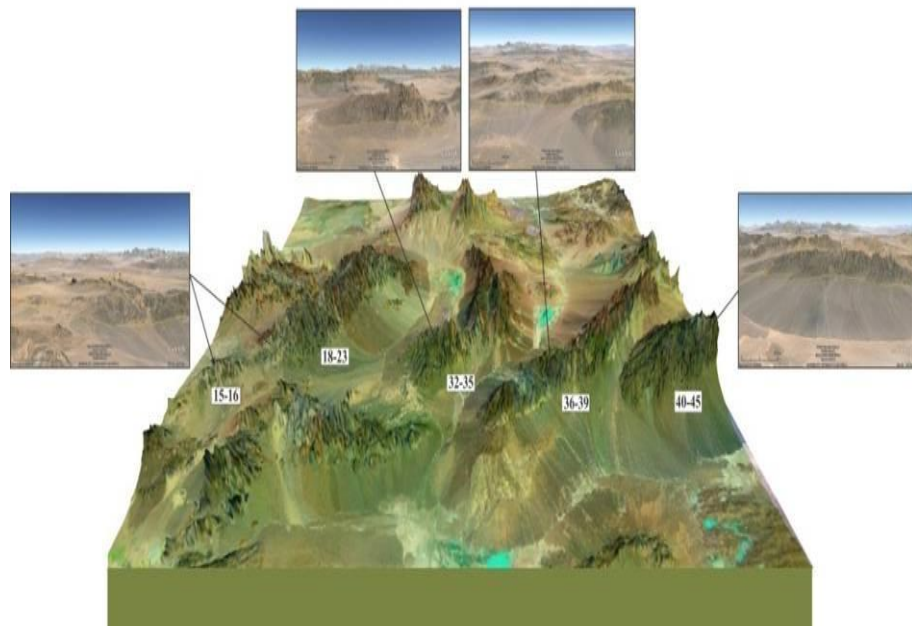
### شاخص پیچ و خم جبهه‌ی کوهستان

با مطالعه چند ایستگاه محدود نمی‌توان در مورد یک منطقه قضاوت نمود، زیرا ممکن است در یک ناحیه به دلایل ساختاری و لیتوژئیک مقادیر شاخص‌ها با ایستگاه‌های دیگر متفاوت باشد. بطور مثال عملکرد یک گسل در لیتوژئی نرم مانند رس عمل فرسایش را تسهیل می‌کند و مورفوژئی را تحت تاثیر قرار می‌دهد و از آنجا که مقادیر شاخص‌های مورفوژئیک تابعی از مورفوژئی هستند این امر موجب می‌شود که شواهد در یک ناحیه فعال، به شکل غیرفعال دیده شوند. در این بررسی، شاخص پیچ و خم جبهه کوهستان برای ۱۰۰ ایستگاه اندازه‌گیری گردید (شکل ۴).

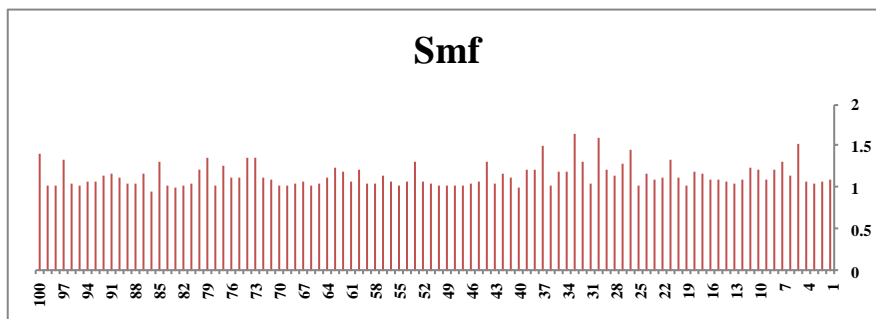


شکل (۴). موقعیت نقاط اندازه‌گیری شده از جبهه‌های کوهستان در منطقه مورد مطالعه.

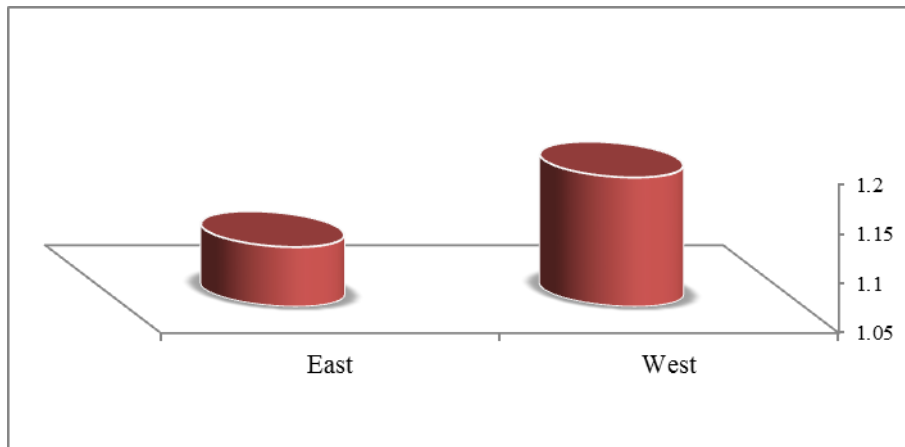
نقاط اندازه‌گیری شده در ایستگاه های ۱-۵۱ در بخش غربی و نقاط ۵۲-۱۰۰ در بخش شرقی منطقه می باشد. شکل ۵ موقعیت تعدادی از ایستگاه های اندازه گیری شده از مرز جبهه کوهستان با دشت را نشان می دهد، محاسبات حاصل از این بررسی در شکل ۶ ارائه شده است. بخش شرقی منطقه از نادویس ها و تاقدیس های متعددی تشکیل شده که تحت تاثیر گسل-هایی همچون گسل چشم، گسل لاهوری، گسل قورچی و گسل انارکی بريده و جابجا شده اند. در اين بخش نرخ فعالیت سینوسیته  $1/1$  می باشد (شکل ۷). بخش غربی منطقه نسبت به بخش شرقی مرتفع تر است و از واحدهای سنگی پر کامبرین تا کرتاسه تشکیل شده است از جمله گسل های مهم این بخش گسل سربالا گسل نایینی و گسل کلمرد می باشد میانگین نرخ فعالیت سینوسیته برای این بخش  $1/2$  محاسبه شده است (شکل ۷). در یک نگاه کلی، نرخ فعالیت سینوسیته کوهستان برای کل منطقه مورد مطالعه  $1/15$  می باشد که این مقدار حکایت از فعالیت جوان گسل های موجود در منطقه دارد.



شکل (۵). موقعیت مرز جبهه کوهستان با دشت در چندین ایستگاه در منطقه مورد مطالعه.



شکل (۶). مقادیر عددی اندازه گیری شده از سینوسیته پیچانی کوهستان در منطقه مورد مطالعه.



شکل (۷). متوسط مقادیر اندازه گیری شده ی پیچ و خم کوهستان در بخش شرقی و غربی منطقه مورد مطالعه.

نسبت پهنه‌ای کف دره به عمق دره ( $V_f$ )

در منطقه مورد مطالعه تعداد ۷۵ دره مورد بررسی قرار داده شد و شاخص های مورد نیاز اندازه گیری گردید (جدول ۱). مقادیر بدست آمده برای شاخص فوق در گستره مورد مطالعه از لحاظ فعالیت یکسان نبوده که می‌توان این پدیده را به جنس رسوبات موجود در ناحیه و مقاومت آنها در برابر عوامل فرسایشی نسبت داد. با توجه به جدول ۱ ملاحظه می‌شود کمترین شاخص  $V_f$  اندازه گیری شده مربوط به دره شماره ۳ بوده که در موقعیت جغرافیایی "۳۳°۰۴/۷۷" طول شرقی و "۰۹/۶۴" عرض شمالی قرار گرفته است که دارای مقدار عددی  $۵۵^{\circ}$  می‌باشد و نیز بیشترین مقدار عددی  $۲/۸۷$  مربوط به دره شماره ۱۳ در موقعیت جغرافیایی "۳۸°۰۸/۳۹/۶۶" طول شرقی و "۰۷/۳۲" عرض شمالی بوده است (شکل ۸).

**بررسی شاخص های ژئومورفیک و مورفو تکتونیکی برای ارزیابی تکتونیک فعال ...**

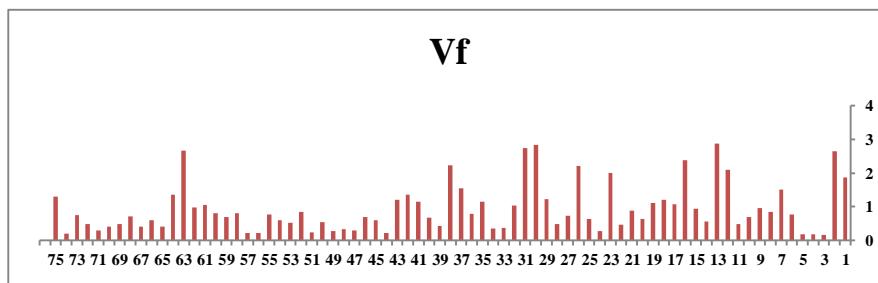
میانگین شاخص نسبت پهنهای کف دره به عمق دره ۹۴/۰ محاسبه گردید که نشان دهنده تکتونیک فعال در منطقه می باشد.

**جدول (۱). اطلاعات اندازه گیری شده از دره های موجود در منطقه مورد مطالعه**

شماره دره	V <sub>fw</sub>	E <sub>rd</sub>	E <sub>ld</sub>	E <sub>sc</sub>	V <sub>w</sub>	V <sub>f</sub>	V
۱	۵۹	۱۴۸۰	۱۴۸۳	۱۴۵۰	۴۱۶	۱.۸۷	۱۳.۲۱
۲	۲۹	۱۵۰۷	۱۴۹۵	۱۴۹۰	۱۹۹	۲.۶۴	۱۸.۰۹
۳	۱۴	۱۹۰۸	۱۸۳۱	۱۷۸۱	۲۰۰	.۰۱۶	۲.۲۶
۴	۴۸	۲۰۲۶	۲۰۹۴	۱۷۹۷	۱۵۳۵	.۰۱۸	۵.۸۴
۵	۱۶	۱۹۳۷	۱۹۲۷	۱۸۴۱	۷۳۹	.۰۱۸	۸.۱۲
۶	۳۹	۱۹۲۹	۱۹۲۶	۱۸۷۷	۳۸۴	.۰۷۷	۷.۶۰
۷	۹۴	۱۹۱۲	۱۹۲۹	۱۸۵۸	۵۷۱	۱.۵۰	۹.۱۴
۸	۴۰	۱۸۸۳	۱۸۸۶	۱۸۳۷	۵۲۲	.۰۸۴	۱۰.۹۹
۹	۴۸	۱۹۲۸	۱۹۶۸	۱۸۹۷	۴۶۵	.۰۹۶	۹.۳
۱۰	۴۰	۱۷۳۰	۱۷۵۸	۱۶۸۷	۷۵۸	.۰۷۰	۱۳.۷۷
۱۱	۴۷	۲۰۰۸	۲۰۲۴	۱۹۲۱	۸۲۷	.۰۴۹	۸.۷۱
۱۲	۷۰	۱۷۱۲	۱۷۵۵	۱۷۰۰	۶۰۷	۲۰.۰۹	۱۸.۱۲
۱۳	۱۰۲	۱۹۱۱	۱۹۵۰	۱۸۹۵	۴۳۶	۲.۸۷	۱۲.۲۸
۱۴	۵۶	۱۷۱۳	۱۶۸۱	۱۵۹۸	۱۰۴۸	.۰۵۷	۱۰.۰۹
۱۵	۵۲	۱۶۲۶	۱۶۶۱	۱۵۸۸	۷۱۰	.۰۹۶	۱۲.۷۹
۱۶	۵۰	۱۵۲۵	۱۵۱۵	۱۴۹۹	۳۱۰	۲.۳۸	۱۴.۷۶
۱۷	۴۴	۱۴۸۹	۱۵۱۳	۱۴۶۰	۳۵۵	۱.۰۷	۸.۶۶
۱۸	۳۴	۱۴۳۸	۱۴۶۴	۱۴۲۳	۴۲۸	۱.۳۱	۱۰.۲۹
۱۹	۲۲	۱۳۹۱	۱۴۰۵	۱۳۶۹	۳۰۳	۱.۱۰	۱۰.۴۵
۲۰	۴۰	۱۶۶۰	۱۶۵۶	۱۵۹۵	۵۶۳	.۰۶۳	۸.۹۴
۲۱	۵۶	۱۳۸۲	۱۴۲۰	۱۳۳۷	۴۲۷	.۰۸۷	۶.۶۷
۲۲	۲۱	۱۴۴۴	۱۳۶۵	۱۳۳۷	۴۰	.۰۴۶	۶.۵۲
۲۳	۳۰	۱۲۲۰	۱۲۳۴	۱۲۱۲	۱۹۱	۲	۱۲.۷۳
۲۴	۱۲	۱۲۲۷	۱۲۶۱	۱۲۰۰	۲۸۹	.۰۲۷	۶.۵۷
۲۵	۷	۱۲۶۲	۱۲۶۰	۱۲۵۰	۱۷۷	.۰۶۴	۱۶.۰۹
۲۶	۱۱	۱۲۷۸	۱۲۹۰	۱۲۷۹	۹۴	۲.۲	۱۸.۸
۲۷	۴۸	۱۲۶۴	۱۳۵۲	۱۲۴۲	۵۸۰	.۰۷۳	۸.۷۹
۲۸	۶۵	۱۵۰۳	۱۵۲۵	۱۳۸۰	۶۵۳	.۰۴۹	۴.۸۷
۲۹	۷۸	۱۳۳۵	۱۳۴۱	۱۲۷۴	۴۹۲	۱.۲۲	۷.۶۹
۳۰	۵۱	۱۲۶۶	۱۲۶۰	۱۲۴۵	۲۶۴	۲.۸۳	۱۴.۵۷
۳۱	۴۱	۱۴۰۲	۱۴۱۸	۱۳۹۵	۲۰۶	۲.۷۳	۱۷.۰۷
۳۲	۳۴	۱۴۷۳	۱۴۹۷	۱۴۵۲	۳۹۴	۱.۰۳	۱۱.۹۴
۳۳	۴۷	۱۵۶۸	۱۶۲۰	۱۴۶۹	۷۰۰	.۰۳۸	۵.۶
۳۴	۳۹	۱۵۱۶	۱۴۹۳	۱۳۹۱	۵۲۷	.۰۳۴	۴.۶۴
۳۵	۱۱۱	۱۴۶۶	۱۵۰۶	۱۳۹۰	۵۳۰	۱.۱۶	۵.۵۲
۳۶	۶۷	۱۵۴۹	۱۵۱۸	۱۴۴۸	۹۸۸	.۰۷۸	۱۱.۰۸

۳۷	۳۴	۱۶۳۵	۱۶۰۹	۱۶۰۰	۲۶۷	۱۰۵	۱۲۰۱۴
۳۸	۵۹	۱۴۲۷	۱۴۲۶	۱۴۰۰	۲۳۸	۲۰۲۳	۸۹۸
۳۹	۳۰	۱۴۵۳	۱۴۴۴	۱۳۸۰	۲۶۰	۰۴۴	۵۲۵
۴۰	۸	۱۳۳۰	۱۳۳۴	۱۳۲۰	۲۲۴	۰۶۷	۱۸۶۷
۴۱	۲۷	۱۲۳۳	۱۲۲۴	۱۲۰۵	۲۸۲	۱۱۵	۱۲
۴۲	۱۵	۱۱۴۵	۱۱۴۷	۱۱۳۵	۱۷۰	۱۳۶	۱۵۰۴۵
۴۳	۵۴	۱۱۴۸	۱۱۲۴	۱۰۹۱	۵۲۶	۱۰۲	۱۱۶۹
۴۴	۶	۱۰۸۹	۱۰۹۲	۱۰۶۶	۱۹۰	۰۲۳	۷۰۱۷
۴۵	۸۸	۱۶۲۵	۱۵۸۳	۱۴۵۵	۷۵۸	۰۵۹	۵۰۰۹
۴۶	۵۹	۱۳۷۲	۱۳۱۱	۱۲۵۶	۶۶۳	۰۶۹	۷۰۷۵
۴۷	۲۵	۱۴۰۶	۱۳۴۳	۱۲۸۹	۶۵۸	۰۲۹	۷۰۶۹
۴۸	۴۵	۲۰۳۹	۲۱۰۲	۱۹۳۵	۹۲۵	۰۳۳	۶۰۸۳
۴۹	۶۸	۲۱۱۸	۱۸۷۵	۱۷۵۵	۱۱۶۳	۰۲۸	۴۰۸۲
۵۰	۵۸	۲۰۳۹	۲۰۶۲	۱۹۴۵	۵۱۸	۰۵۵	۴۰۹۱
۵۱	۵۹	۲۱۹۷	۱۹۹۹	۱۸۴۲	۱۲۰۰	۰۲۳	۴۰۹۹
۵۲	۴۱	۱۹۳۱	۱۸۹۷	۱۸۶۰	۲۷۷	۰۸۴	۵۰۶۵
۵۳	۷۷	۲۰۱۳	۲۰۳۶	۱۸۷۶	۱۰۰۷	۰۵۲	۶۰۷۸
۵۴	۴۵	۲۰۸۹	۲۰۳۳	۱۹۸۷	۸۶۳	۰۶۱	۱۱۶۶
۵۵	۲۷	۱۵۲۱	۱۵۵۸	۱۵۰۴	۴۳۴	۰۷۶	۱۲۰۲۳
۵۶	۲۴	۱۷۴۰	۱۷۶۲	۱۶۴۳	۶۷۳	۰۲۲	۶۰۲۳
۵۷	۴۸	۱۷۵۰	۱۶۲۵	۱۴۶۲	۱۰۰۴	۰۲۱	۴۰۴۵
۵۸	۱۲۱	۱۴۹۱	۱۵۸۴	۱۳۸۷	۹۶۰	۰۸۰	۶۰۳۸
۵۹	۴۰	۱۵۹۰	۱۶۶۴	۱۵۷۰	۴۶۲	۰۷۰	۸۰۱۱
۶۰	۴۳	۱۵۴۵	۱۵۹۳	۱۵۱۶	۵۲۹	۰۸۱	۹۰۹۸
۶۱	۵۳	۱۵۹۳	۱۵۰۹	۱۵۲۶	۳۲۸	۱۰۰	۶۰۵۶
۶۲	۴۱	۱۴۷۶	۱۴۸۸	۱۴۴۰	۳۳۷	۰۹۸	۸۰۰۲
۶۳	۳۲	۱۴۵۲	۱۴۵۴	۱۴۴۱	۲۰۴	۲۰۷	۱۷
۶۴	۷۵	۱۱۳۰	۱۱۴۰	۱۰۸۰	۹۳۳	۱۳۶	۱۶۰۹۶
۶۵	۶	۱۱۳۱	۱۱۲۲	۱۱۱۲	۱۶۰	۰۴۱	۱۱۰۰۳
۶۶	۱۶	۱۱۹۰	۱۲۲۵	۱۱۸۱	۳۴۱	۰۶۰	۱۲۰۸۷
۶۷	۶	۱۱۹۹	۱۱۹۰	۱۱۸۰	۲۵۴	۰۴۱	۱۷۰۵۲
۶۸	۲۲	۱۱۸۵	۱۱۷۷	۱۱۵۰	۴۲۳	۰۷۱	۱۳۰۵
۶۹	۱۲	۱۱۶۸	۱۱۹۴	۱۱۵۶	۲۶۱	۰۴۸	۱۰۰۴۴
۷۰	۶۵	۱۲۸۶	۱۳۳۶	۱۱۵۱	۱۰۳۷	۰۴۱	۶۰۴۸
۷۱	۴۳	۱۳۴۵	۱۳۹۱	۱۲۱۸	۵۲۷	۰۲۹	۳۰۱
۷۲	۸۵	۱۳۶۵	۱۳۹۰	۱۲۰۲	۸۶۵	۰۴۸	۴۰۹۳
۷۳	۵۲	۱۳۱۹	۱۳۵۵	۱۲۶۸	۶۹۰	۰۷۵	۱۰
۷۴	۱۰	۱۳۰۲	۱۲۹۸	۱۲۴۸	۴۰۳	۰۱۹	۷۰۷۵
۷۵	۸۴	۱۳۱۷	۱۳۴۴	۱۲۶۶	۷۲۱	۳۰	۱۱۰۱۸

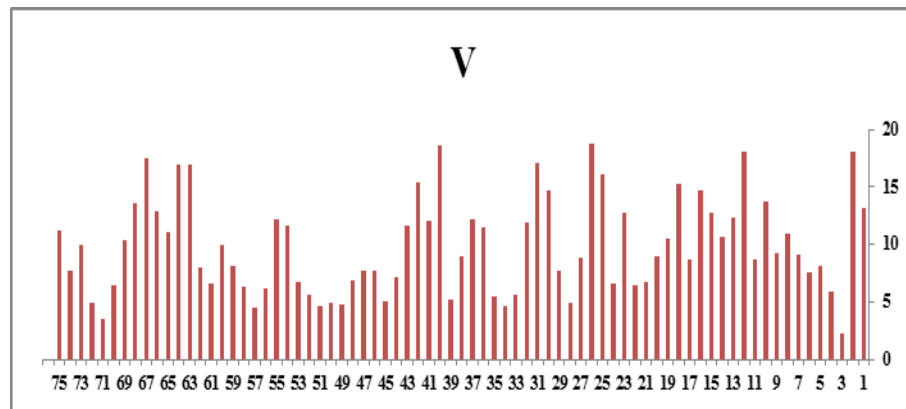
ادامه جدول (۱).



شکل (۸). مقادیر نسبت پهنهای کف دره به عمق دره ( $V_f$ ) برای تعداد ۷۵ دره در منطقه مورد مطالعه.

#### نسبت عرض دره به ارتفاع دره ( $V$ )

مقادیر عددی بدست آمده در منطقه مورد مطالعه برای شاخص  $V$  در جدول ۱ نشان داده شده است. بیشترین نسبت عرض دره به ارتفاع دره در این منطقه مربوط به دره شماره ۲۶ با مقدار عددی  $18/8$  و کمترین مقدار  $2/6$  مربوط به دره شماره ۳ است و به طور کلی این میزان شاخص  $V$  ناشی از فعالیت تکتونیکی فعال در منطقه می‌باشد (شکل ۹). میانگین شاخص نسبت عرض دره به ارتفاع دره  $9/88$  محاسبه گردید که نشان دهنده تکتونیک نسبتاً فعال در منطقه می‌باشد.

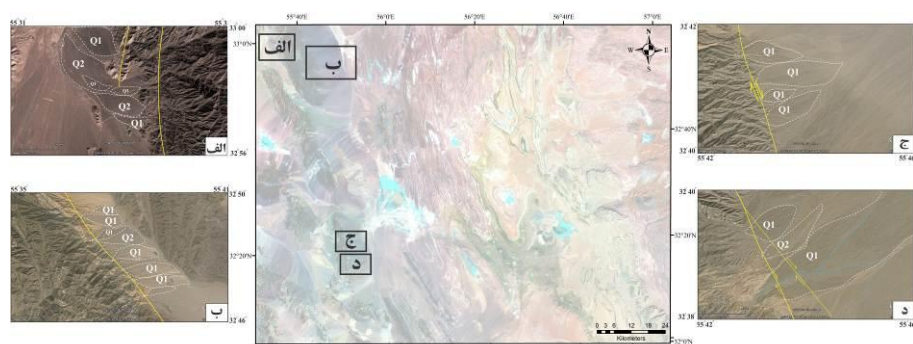


شکل (۹). مقادیر نسبت عرض دره به ارتفاع دره ( $V$ ) برای دره های شناسایی شده در منطقه مورد مطالعه.

#### مخروط افکنه ها

مخروط افکنه ها به عنوان یکی از بارزترین اشکال آبرفتی و مورفولوژیکی که تحول آن ها به شدت تحت تأثیر حرکات تکتونیکی قرار می گیرد تلقی می شوند (Harvey et al., 1999:2).

عوامل تکتونیکی، بافت و موقعیت مخروط افکنه‌ها را متاثر می‌سازند همچنین از طریق بالا آمدگی، شب و ویژگی‌های سطح اساس تحت تاثیر قرار می‌گیرد. در واقع حرکات تکتونیکی از طریق افزایش و کاهش شب و در نتیجه افزایش یا کاهش قدرت حمل جریانات و مقدار فراهمی رسب، تحول و تکامل مخروط افکنه‌ها را متاثر می‌سازند. در برخی موارد جابجایی امتدادلغز گسل‌ها در محل ایجاد مخروط افکنه‌ها موجب تحول و جابجایی مخروط افکنه می‌شود، در چنین شرایطی مخروط افکنه‌هایی که بلاfacه بعد از خط گسل ایجاد می‌شوند، با جابجایی امتدادلغز گسل جابجا شده و در محل دیگری ایجاد می‌شوند بدین ترتیب مخروطی جدید در محل دیگری ایجاد می‌شود و مخروط قبلی به صورت متروک باقی می‌ماند (مقصودی و محمدنژاد آروق، ۱۳۹۰). در منطقه مورد مطالعه عملکرد گسل باعث حفر بستر مخروط افکنه‌های قدیمی ( $Q_1$ ) در نزدیکی جبهه کوهستان شده و نیز در بین آن‌ها مخروط افکنه‌های جدید ( $Q_2$ ) تشکیل گردیده است (شکل ۱۰).



شکل (۱۰). مخروط افکنه‌های قدیمی ( $Q_1$ ) و جدید ( $Q_2$ ) (الف و د) نهشته شدن مخروط‌های جدید بر روی مخروط‌های قدیمی بر اثر فعالیت مجدد منطقه، (ب) جابجایی مخروط افکنه‌ها در اثر حرکت گسل (ج) حفر مجدد مخروط‌ها توسط آبراهه‌ها در اثر بالا آمدگی منطقه.

#### جابجایی آبراهه‌ها بر اثر حرکات گسل

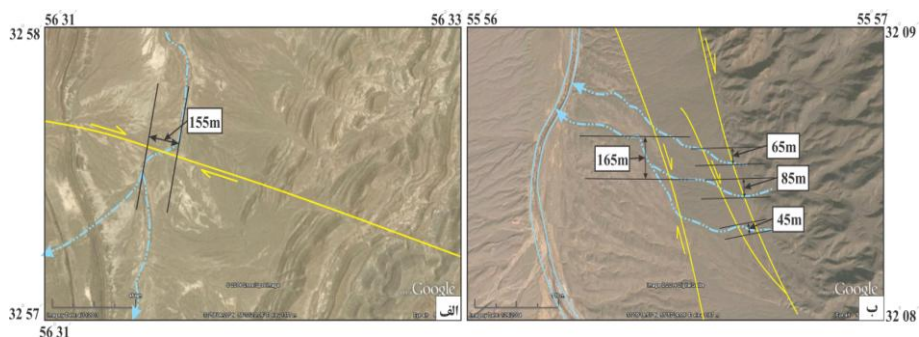
آبراهه‌ها از عوارضی می‌باشند که نسبت به تغییرات دibi رود، اختصاصات بار رسوبی و تنش های موجود در منطقه بسیار حساس بوده و این تغییرات، بر مورفولوژی آبراهه تأثیر می‌گذارند (سلیمانی، ۱۳۷۸: ۱۳). آبراهه‌ها از ارتفاعات سرچشمه گرفته و در طی میسر راه خود را برای جریان یافتن باز می‌کنند. عملکرد گسل در طول مسیر آبراهه اگر از نوع تنش برشی افقی (گسل‌های امتدادلغز) باشد آبراهه از مسیر اصلی خود منحرف شده و بخشی از مسیر آن در امتداد زون گسله حرکت کرده تا مسیر را برای جریان مستقیم خود پیدا کند این فاصله طی

## بررسی شاخص های ژئومورفیک و مورفو تکتونیکی برای ارزیابی تکتونیک فعال ... ۲۱

شده در مسیر زون گسله میزان جابجایی آبراهه را نشان می دهد که بوسیله آن می توان مکانیسم امتدادی گسل را نیز تشخیص داد. عملکرد گسل اگر از نوع سیستم های تنش فشارشی یا کششی (گسل های نرمال و معکوس) باشد پدیده هایی همچون تغییر موقعیت مکانی رسویگذاری و حفر قائم بستر رود را باعث می شوند (Keller and Pinter, 1969:60). در منطقه مورد مطالعه ۱۰ جابجایی آبراهه که توسط گسل های راست گرد از مسیر اصلی خود منحرف شده اند شناسایی گردید. طبق نقشه ۱/۲۵۰۰۰۰ آبدوغی سن رسوبات منطقه پلیوستوسن - هولوسن می باشد که جابجایی آبراهه های منطقه را می توان در طی این دوره در نظر گرفت (شکل ۱۱، جدول ۲).

جدول (۲). میزان جابجایی اندازه گیری شده از آبراهه های موجود در منطقه مورد مطالعه

ردیف	موقعیت آبراهه	میزان جابجایی مشاهده شده آبراهه به متر	مولفه جابجایی
۱	۳۲° ۴۲' ۲۵" ۵۵° ۴۴' ۲۲"	۴۲۰	راستگرد
۲	۳۲° ۴۲' ۲۵" ۵۵° ۴۴' ۴۸"	۱۲۰	راستگرد
۳	۳۲° ۰' ۲۱" ۵۵° ۵۷' .."	۱۶۵	راستگرد
۴	۳۲° ۰' ۱۱" ۵۵° ۵۷' ۱۸"	۴۵	راستگرد
۵	۳۲° ۰' ۱۶" ۵۵° ۵۷' ۱۴"	۸۵	راستگرد
۶	۳۲° ۰' ۲۱" ۵۵° ۵۷' ۱۱"	۶۵	راستگرد
۷	۳۲° ۵۸' ۱۶" ۵۶° ۳۲' ۰۳"	۱۵۵	راستگرد
۸	۳۲° ۵۳' ۵۲" ۵۶° ۲۹' ۵۵"	۱۲۰	راستگرد
۹	۳۲° ۳۰' ۴۷" ۵۶° ۰' ۶۲۹"	۹۸۰	راستگرد
۱۰	۳۲° ۳۰' ۱۱" ۵۶° ۳۱' ۱۷"	۱۰۵	راستگرد

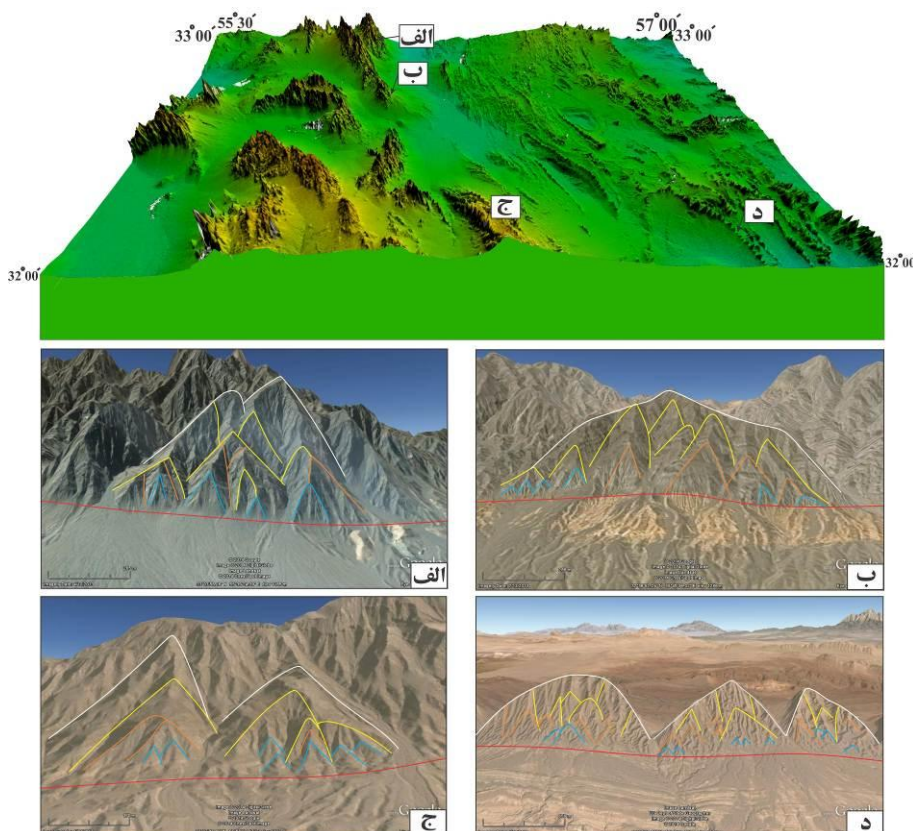


شکل (۱۱). (الف) محل تقاطع گسل با آبراهه ها و جابجایی راستگرد آن ها در بخش غربی منطقه و (ب) جابجایی راستگرد آبراهه در بخش شرقی منطقه.

#### اشکال سطوح مثلثی

در محل تلاقی کوهپایه با دشت، رسوبات در محل خط گسل بریده می‌شوند که بصورت اشکال مثلثی مشاهده می‌گردد. این اشکال، جبهه‌های کوهستانی فعال از نظر تکتونیکی را نشان می‌دهند و هر چه گسل فعال تر باشد این اشکال واضح‌تر هستند و در نقاطی که مدت زمان زیادی از فعالیت گسل می‌گذرد و نرخ فرسایش از نرخ حرکت گسل بیشتر است دره‌ها وسیع‌تر می‌گردد و این اشکال با زوایای گرد شده دیده می‌شوند ( Menges, 1990: 302; Wells et al., 1988:251).

شکل ۱۲ موقعیت اشکال مثلثی در منطقه را نشان می‌دهد. خطوط آبی و نارنجی رنگ، جوان‌ترین اشکال مثلثی در منطقه است، در این بخش شیارهای ضعیفی از آبراهه‌ها بر روی ساختار صفحه‌ای موجود می‌باشد که عملکرد آب هنوز تاثیر زیادی بر آنها نگذاشته است. اشکال مثلثی مشخص شده با رنگ زرد و سفید دارای سن بیشتر و دره‌های تشکیل شده بر روی آن‌ها نیز فعالیت فرسایش در این ناحیه را نشان می‌دهد.



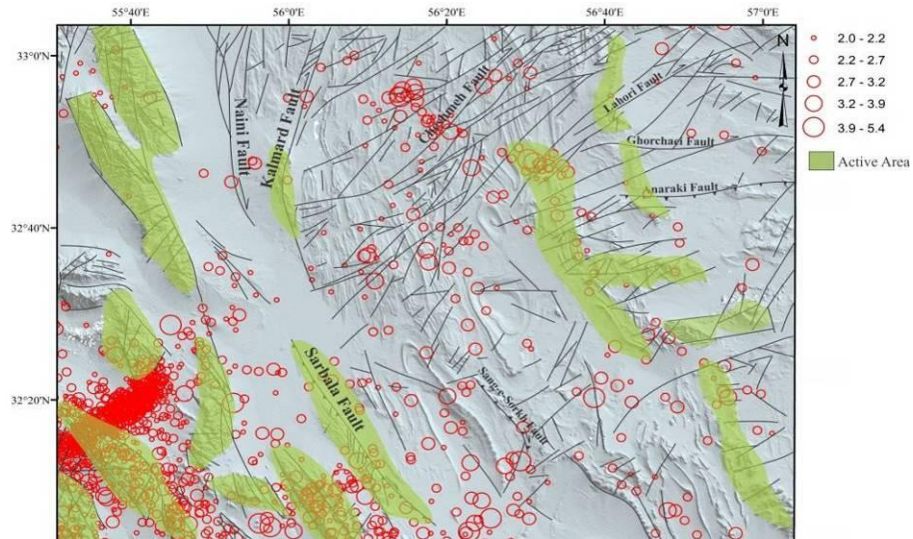
شکل (۱۲). اشکال مثلثی تشکیل شده در منطقه، خطوط قرمز گسل های موجود را نشان می دهند.

#### ارزیابی داده های لرزه ای منطقه بر اساس شواهد مورفو تکتونیکی

وجود نشانه های زمین ریختی مبني بر فعال بودن یک منطقه از نظر تکتونیکی با وقوع زمین لرزه ها در آن منطقه تأیید می گردد (جدول ۳). در منطقه مورد مطالعه وجود گسل های اصلی (گسل کلمرد، چشمه، سربالا) وقوع زمین لرزه های متعددی را آشکار می سازد. براساس اطلاعات زمین لرزه های ثبت شده توسط پایگاه لرزه نگاری موسسه ژئوفیزیک دانشگاه تهران منطقه از نظر لرزه ای فعال می باشد (شکل ۱۳). بر اساس شواهد مورفو تکتونیکی منطقه به دو بخش شرقی و غربی تقسیم شد که با توجه به شکل ۱۳ بیشترین تمرکز زمین لرزه ها در بخش غربی منطقه می باشد که شواهد ریخت زمین ساختی بدست آمده از بخش غربی نیز فعالیت بیشتر این بخش را تأیید می کند.

جدول (۳). نتایج حاصل از ارزیابی شاخص‌های ژئومورفیکی و مورفوکتونیکی در منطقه آبدوغی.

توصیف کیفی	نماد	شاخص‌ها
فعال	$S_{mf}$	شاخص سینوسی جبهه‌ی کوهستان
فعال	$V_f$	نسبت پهنای کف دره به عمق دره
نسبتاً فعال	$V$	نسبت عرض دره به ارتفاع دره
فعال	-	مخروط افکنه‌ها
فعال	-	جاگایی آبراهه‌ها



شکل (۱۳). تصویر پراکندگی زمین لرزه‌های منطقه مطالعه (داده‌ها برگرفته از پایگاه لرزه نگاری موسسه ژئوفیزیک دانشگاه تهران).

### نتیجه گیری

نتایج بدست آمده از بررسی شواهد ژئومورفیکی و مورفوکتونیکی یک طبقه بندی نسبی از فعالیت تکتونیکی ارائه می‌دهند که برای مطالعات، شناسایی و بررسی های مقدماتی مفید می‌باشند. وقتی چندین شاخص جهت بررسی فعالیت تکتونیکی یک منطقه به کار برد شوند نتایج مستدل‌تری خواهند داشت. این بررسی‌ها برای منطقه آبدوغی مورد ارزیابی قرار گرفت. شاخص سینوسی جبهه کوهستان ( $S_{mf}$ )، شاخص نسبت پهنای کف دره به عمق دره ( $V_f$ ) و شاخص نسبت عرض دره به ارتفاع دره ( $V$ ) برای نقاط مختلف در راستای گسل‌های اصلی منطقه اندازه‌گیری شد که به ترتیب دارای مقادیر میانگین  $1/15$ ،  $0/94$  و  $9/88$  می‌باشند.

مقادیر بدست آمده انعکاس دهنده فعالیت تکتونیکی بالا می باشند. در بعضی از موارد تفاوت های ایجاد شده ناشی از ناهمنانی در ترکیب سنگ شناسی، وضعیت ساختاری مختلف و همچنین شرایط آب و هوایی متفاوت می باشد. شواهد ناشی از انحراف آبراهه ها و حفر قائم بستر مخروط افکنه ها نیز فعالیت تکتونیکی افقی و قائم در منطقه را نشان می دهد. با توجه به شاخصه های زمین ریختی بدست آمده می توان نتیجه گرفت که این منطقه از نظر لرزه ای، بستر مخروط افکنه ها نیز فعالیت تکتونیکی افقی و قائم در منطقه را نشان می دهد. با توجه به شاخصه های زمین ریختی بدست آمده می توان نتیجه گرفت که این منطقه از نظر لرزه ای، فعال می باشد. وقوع چندین زمین لرزه با بزرگی ۵ ریشتر فعال بودن منطقه را تأیید می کند.

#### منابع و مأخذ

۱. آقا نباتی، سید علی (۱۳۸۳). زمین شناسی ایران، انتشارات سازمان زمین شناسی و اکتشافات معدنی ایران، ۵۸۶ ص.
۲. آقاباتی، سید علی و سعیدی، عبدالله (۱۳۹۰). نقشه زمین شناسی چهار گوش آبدوغی به مقیاس ۱/۲۵۰۰۰۰، سازمان زمین شناسی کشور، تهران.
۳. اصغری مقدم، محمدرضا (۱۳۸۶). تاثیر فرازگیری ارتفاعات و فعالیت گسل ها بر روند تکامل مخروط افکنه ها (مخروط افکنه رودخانه سردر طبس)، فصلنامه جغرافیا، دانشگاه آزاد اسلامی واحد تهران مرکز، شماره ۲.
۴. بیاتی خطیبی، مریم (۱۳۸۸). تشخیص فعالیت های نئوتکتونیکی در حوضه ای آبریز قرقوقچای با استفاده از شاخص های ژئومورفیک و مورفو تکتونیک، فضای جغرافیایی، سال نهم، شماره ۵۰-۲۵، ص: ۵۰-۲۵.
۵. ثروتی، محمدرضا (۱۳۷۱). ژئومورفولوژی ساختمانی و اقلیمی در منطقه کاشمر، مجموعه مقالات جغرافیایی جشن نامه دکتر محمد حسن گنجی، انتشارات گیتاشناسی، تهران.
۶. رجبی، معصومه؛ روستایی، شهرام؛ و مقامی مقیم، غلامرضا (۱۳۸۵). تحلیل فعالیت های نئوتکتونیکی در دامنه های جنوبی ارتفاعات آلاداع در شمال شرقی ایران، جغرافیا و توسعه، شماره ۸، ص: ۱۹۱-۱۷۷.
۷. سلیمانی، شهریار (۱۳۷۸). رهنمودهایی در شناسایی حرکات تکتونیکی فعال و جوان «با نگرشی بر مقدمات دیرینه لرزه شناسی» تهران، انتشارات موسسه بین المللی زلزله شناسی و مهندسی زلزله.
۸. شفیعی، الهه؛ علوی، سید احمد؛ و نادری میقان، نصیر (۱۳۸۸). تکتونیک فعال در رشته کوه بیتلود با تکیه بر بررسی های مورفو تکتونیکی، پژوهش های جغرافیای طبیعی. شماره ۷۰.

۹. گورابی، ابوالقاسم؛ و نوحه گر، احمد (۱۳۸۶). شواهد ژئومورفولوژیکی تکتونیک فعال در حوضه آبخیز در که، مجله پژوهش های جغرافیایی، شماره ۶۰، ص ۱۷۷-۱۹۶.
۱۰. مددی، عقیل؛ رضایی مقدم، محمدحسین؛ و رجایی، عبدالحمید (۱۳۸۳). تحلیل فعالیت های نئوتکتونیک با استفاده از روش های ژئومورفولوژی در دامنه های شمال غربی تالش باع وداگ، پژوهش های جغرافیایی، شماره ۴۸، ص ۱۳۸-۱۲۳.
۱۱. مقصودی، مهران (۱۳۸۷). بررسی عوامل مؤثر بر مخروط افکنه ها، پژوهش های جغرافیایی، شماره ۶۵.
۱۲. مقصودی، مهران؛ و محمدنژاد آروق، وحید (۱۳۹۰). ژئومورفولوژی مخروط افکنه ها، انتشارات دانشگاه تهران، ۲۲۳ ص.
۱۳. یمانی، مجتبی؛ و تقیان، علیرضا (۱۳۸۸). ارزیابی تأثیرات نوزمین ساخت فعال در دامنه های کرکس با استفاده از روش های ژئومورفولوژی، مجله تحقیقات جغرافیایی، شماره مقاله ۷۲۶، ص ۱۳۶.

Bull, W. B., (2007). *Tectonic Geomorphology of Mountains A New Approach to Paleoseismology*. Blackwell, 316 pp.

Bull, W. B. and McFadden, L. D., (1977). *Tectonic geomorphology north and south of the Garlock Fault, California*. In: Doebring, D. O. (ed.), *Geomorphology in Arid Regions, Proceedings of Eighth Annual Geomorphology Symposium*, State University of New York, Binghamton:115–138.

Chorowicz, J., Phont, D., and Gundoglu, N., (1999). *Neotectonics in the eastern North Anatolian fault region (Turkey) advocates crustal extension: Mapping from SAR EAR imagery and Digital Elevation Model*, Journal of Structural Geology. V. 21. P. 511- 532, doi: 1001016SDI91-8141(99)00022-X.

Davis, W.M., (1899). *The geographical cycle*. Geographical Journal. V.14. p. 481-504.

Farhoudi, G., (1978). *A comparison of Zagros geology to island arcs*, Journal of Geology 86, 323–34.

Florinsky, I.V., (1996). *Quantitative topographic method of fault morphology recognition*. Geomorphology 16, 103–119.

Garrote, J., Heydt, G.G. & Cox, R.T. (2008). *Multi-stream order analyses in basin asymmetry: A tool to discriminate the influence of neotectonics in*

*fluvial landscape development (Madrid Basin, Central Spain), Geomorphology* 102, 130-144.

Guarnieri, P., and Pirrotta, C., (2008). *The response of drainage basins to the late Quaternary tectonics in the Sicilian side of the Messina Strait (NE Sicily): Geomorphology*, v. 95, no. 3, p. 260-273.

Hack, J.T., (1960). *Interpretation of erosional topography in humid temperate regions*: American Journal of Science (Bradley Volume), v. 258-A, p. 80-97.

Haghipour, A., (1974). *Etude géologique de la région de Biabanak- Bafq (Iran-Central); Petrologie et tectonique du socle Precambrien et de sa couverture*. These, université scientifique et Medicale de Grenoble , Frace, 403p.

Harvey, M., Silva, A.G., Mather, P.E., Goy, A.L., Stokes, J., Zazo, M. (1999). *The impact of Quaternary sea-level and climatic change on coastal alluvial fans in the Cabo de Gata ranges, southeast Spain*, *Geomophology*, Vol 28. Pp: 1-22.

Keller, E.A and Pinter, N., (1996). *Active Tectonics :earthquakes, uplift, and landscape(1996)*, pp.121-145. Prentice Hall, Inc. New Jersey, 338.

Keller, E.A., Pinter, N. (2002), *Active tectonics: Earthquake Uplift, and Landscape*. Prentice Hall, New Jersey.

Menges, C.M., (1990). *Soils and geomorphic evolution of bedrock facets on a tectonically active mountain front, western Sangre de Cristo Mountains, New Mexico*. *Geomorphology*, 3.

Silva, P.G., Goy, J.L., Zazo, C., Bardajm, T., (2003). *Fault generated mountain fronts in Southeast Spain*, geomorphologic assessment of tectonic and earthquake activity.

Silva, P.G., Calmel-Avila, M., Bardají, T., Goy, J.L., Zazo, C., (2008). *Transition from alluvial to fluvial systems in the Guadalentín Depression (SE Spain) during the Holocene: Lorca Fan versus Guadalentín River*, *Geomorphology* 100:144–153.

Stokes, M., Nash, D.J. & Harvey, A.M., (2007). *Calcrete ‘fossilisation’ of alluvial fans in SE Spain: The roles of groundwater, pedogenic processes and fan dynamics in calcrete development*, *Geomorphology* 85: 63–84.

Walker, R. & Jackson, J., (2004). *Active tectonics and late Cenozoic strain distribution in central and eastern Iran*, Tectonics, 23, TC5010, doi:10.1029/2003 TC001529.

Walker, R., and Fattah, M., (2011) *A framework of Holocene and Late Pleistocene environmental change in eastern Iran inferred from the dating of periods of alluvial fan abandonment, river terracing, and lake deposition*, Quaternary Science Reviews, 30, 9-10.

Wells, S.G, Bullard, T.F, Menges, C.M, Drake, P.G, Karas, P.A, Kelson.K.L, Ritter, J.B, Wesling, J.R, 1988 , *Regional variation in tectonic geomorphology along a segmented convergent plate boundary , Pacific coast of coast Rica*. Geomorphology, 239 – 265.

Whipple, K. X., Tucker, G. E., (1999). *Dynamics of the stream-power river incision model: Implications for height limits of mountain ranges, landscape response timescales, and research needs*. Journal of Geophysical Research 104, 17661 - 17674.

Willgoose, G., Bras, R.L., and Rodriguez-Iturbe, I., (1991). *A coupled channel network growth and hillslope evolution model: I. Theory*: Water Resources Research, v. 27, no. 7, 16711684, 689 doi: 10.1029/91WR00935.

Zamani, A., Hashemi, N., (2004). *Computer-based self-organized tectonic zoning: tentative pattern recognition for Iran*, Computers & Geosciences 30, 705–718.

<http://irsc.ut.ac.ir>

<http://glcfapp.glcdf.umd.edu:8080/esdi/index.jsp>.

<http://earthexplorer.usgs.gov/>